

円筒容器中の超流動ヘリウム3-B相 における準粒子状態

理研

堤 康雅

岡山大学自然科学研究科

川上拓人, 町田一成

B-phase in cylinder



Rotating cryostat
in ISSP

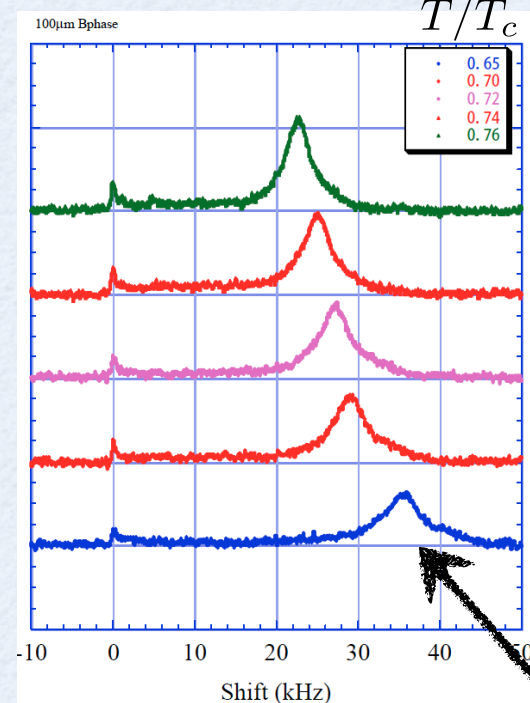


最高回転速度~12rad/s
試料半径 50μm, 100μm

数本の渦を侵入させる
ことが可能
マヨラナゼロモード



NMR spectra

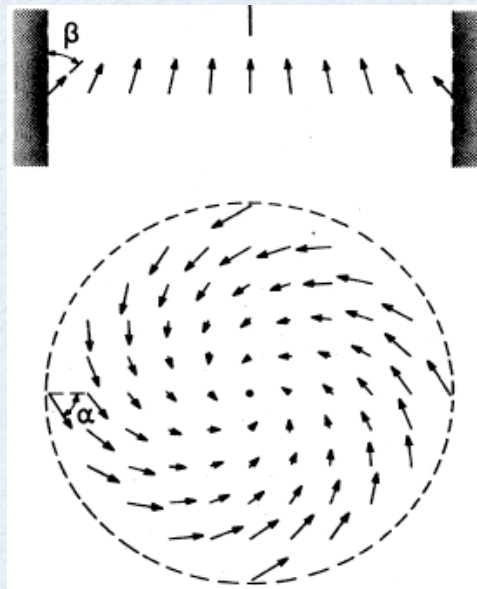


R. Ishiguro, Dr. Thesis (2003).

$$\Delta f_B^2 = \Omega_B^2 \sin^2 \beta \propto \frac{|\Delta_B|^2}{\chi_B} \sin^2 \beta$$

マヨラナエッジ状態
異方的スピン帯磁率

flare-out texture



M.M. Salomaa and G.E. Volovik,
Rev. Mod. Phys. **59**, 533 (1987).

$$\beta = 63.4^\circ$$

edge

Outline of research



n-texture



Quasiparticle states
(vortex, edge)



Spin susceptibility

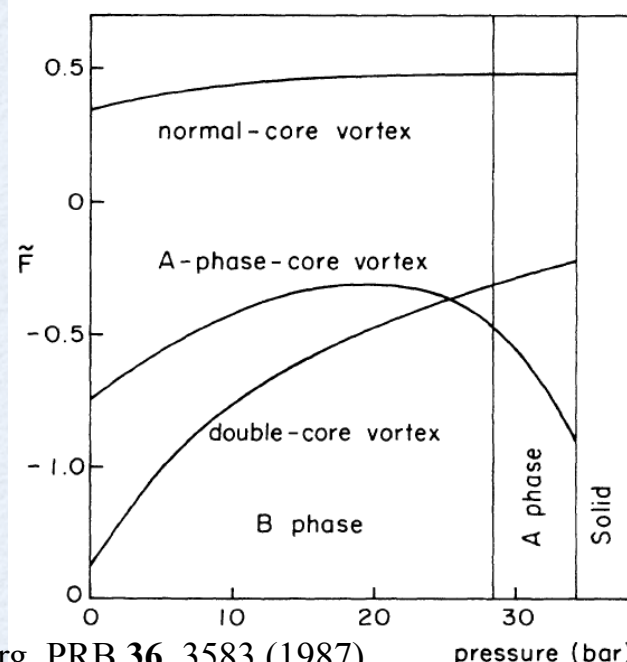
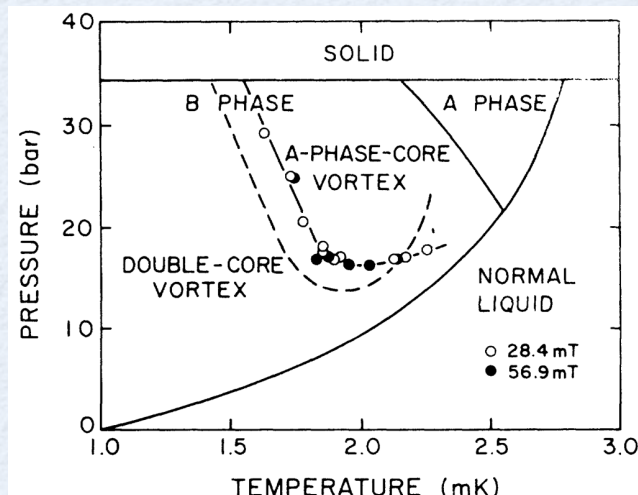


NMR spectrum

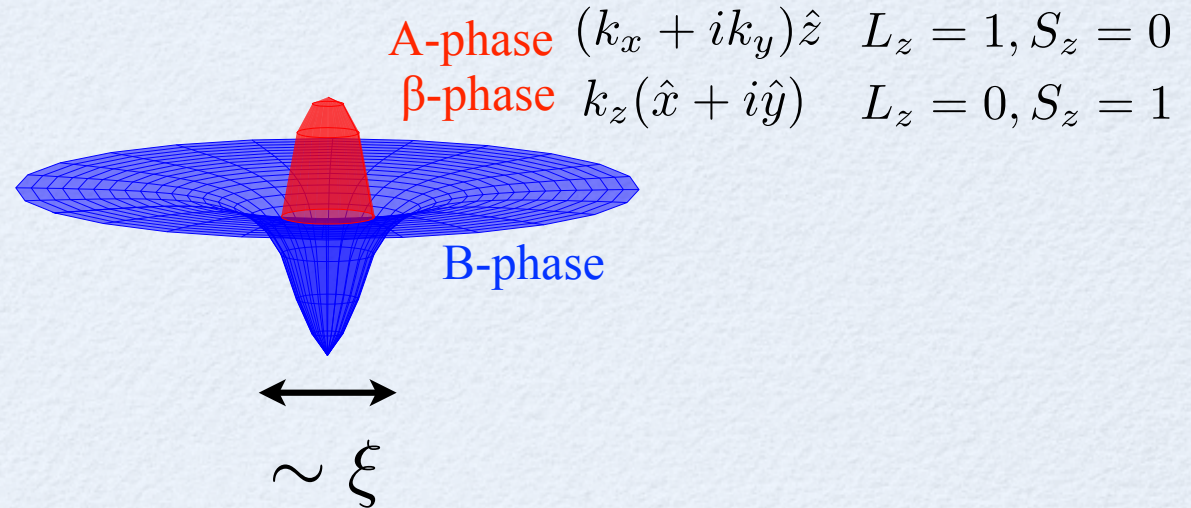
Vortex in B-phase



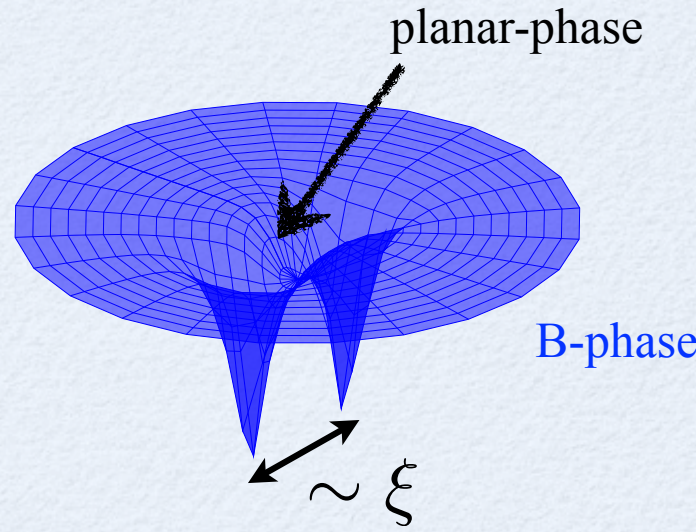
Phase diagram of vortex



A-phase-core vortex



double-core vortex



Quasi-classical Eilenberger theory

$$\Delta/E_F \ll 1 \quad \int d\xi_k \hat{\sigma}_z \hat{G}(\mathbf{k}, \mathbf{r}, \omega_n) \equiv \hat{g}(\mathbf{k}_F, \mathbf{r}, \omega_n) \equiv -i\pi \begin{pmatrix} \hat{g} & i\hat{f} \\ -i\hat{f} & -\hat{g} \end{pmatrix}$$

Eilenberger equation

$$-i\hbar \mathbf{v}_F \cdot \nabla \hat{g}(\mathbf{k}_F, \mathbf{r}, \omega_n) = \left[\begin{pmatrix} i\omega_n \hat{1} & -\hat{\Delta}(\mathbf{k}_F, \mathbf{r}) \\ \hat{\Delta}^\dagger(\mathbf{k}_F, \mathbf{r}) & -i\omega_n \hat{1} \end{pmatrix}, \hat{g}(\mathbf{k}_F, \mathbf{r}, \omega_n) \right]$$

$$\hat{g} \downarrow \quad \uparrow \hat{\Delta}$$

Gap equation

$$\hat{\Delta}(\mathbf{k}_F, \mathbf{r}) = N_0 \pi k_B T \sum_{-\omega_c \leq \omega_n \leq \omega_c} \left\langle V(\mathbf{k}_F, \mathbf{k}'_F) \hat{f}(\mathbf{k}'_F, \mathbf{r}, \omega_n) \right\rangle_{\mathbf{k}'_F}$$

$$\text{pair potential : } V(\mathbf{k}_F, \mathbf{k}'_F) = 3g_1 \mathbf{k}_F \cdot \mathbf{k}'_F$$

Local density of states (LDOS)

$$\hat{g} = \begin{pmatrix} g_0 + g_z & g_x - ig_y \\ g_x + ig_y & g_0 - g_z \end{pmatrix}$$

$$N(\mathbf{r}, E) = \langle N(\mathbf{k}_F, \mathbf{r}, E) \rangle_{\mathbf{k}_F} = N_0 \langle \text{Re}[g_0(\mathbf{k}_F, \mathbf{r}, \omega_n)|_{i\omega_n \rightarrow E + i\eta}] \rangle_{\mathbf{k}_F}$$

Dispersion

Riccati equations

$$-i\hbar \mathbf{v}_F \cdot \nabla \hat{g}(\mathbf{k}_F, \mathbf{r}, \omega_n) = \left[\begin{pmatrix} i\omega_n \hat{1} & -\hat{\Delta}(\mathbf{k}_F, \mathbf{r}) \\ \hat{\Delta}^\dagger(\mathbf{k}_F, \mathbf{r}) & -i\omega_n \hat{1} \end{pmatrix}, \hat{g}(\mathbf{k}_F, \mathbf{r}, \omega_n) \right]$$

$$\hat{g} \equiv -i\pi \begin{pmatrix} \hat{g} & i\hat{f} \\ -i\hat{f} & -\hat{g} \end{pmatrix} \quad \downarrow \quad \begin{pmatrix} \hat{g} & i\hat{f} \\ -i\hat{f} & -\hat{g} \end{pmatrix} = \begin{pmatrix} (\hat{1} + \hat{a}\hat{b})^{-1} & 0 \\ 0 & (\hat{1} + \hat{b}\hat{a})^{-1} \end{pmatrix} \begin{pmatrix} \hat{1} - \hat{a}\hat{b} & 2i\hat{a} \\ -2i\hat{b} & -(\hat{1} - \hat{b}\hat{a}) \end{pmatrix}$$

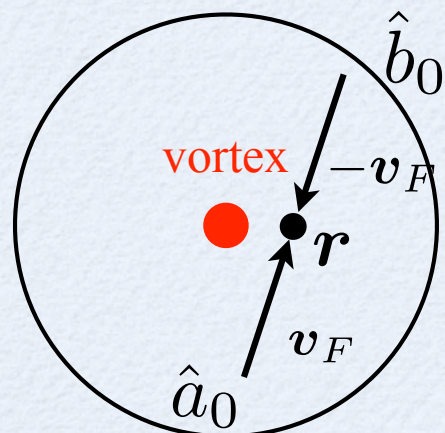
Riccati equations

toward \mathbf{v}_F

$$\hbar \mathbf{v}_F \cdot \nabla \hat{a}(\mathbf{k}_F, \mathbf{r}, \omega_n) = \hat{\Delta} - \hat{a}(\mathbf{k}_F, \mathbf{r}, \omega_n) \hat{\Delta}^\dagger \hat{a}(\mathbf{k}_F, \mathbf{r}, \omega_n) - 2\omega_n \hat{a}(\mathbf{k}_F, \mathbf{r}, \omega_n)$$

toward $-\mathbf{v}_F$

$$-\hbar \mathbf{v}_F \cdot \nabla \hat{b}(\mathbf{k}_F, \mathbf{r}, \omega_n) = \hat{\Delta}^\dagger - \hat{b}(\mathbf{k}_F, \mathbf{r}, \omega_n) \hat{\Delta} \hat{b}(\mathbf{k}_F, \mathbf{r}, \omega_n) - 2\omega_n \hat{b}(\mathbf{k}_F, \mathbf{r}, \omega_n)$$



Numerical method

オーダーパラメーターが空間変化しているため、
 a, b の初期値を決定することができない。

ただし、コヒーレンス長よりも十分長い積分経路
 をとれば初期値によらない解を得られる。

Y. Nagai *et al.*, arXiv:1202.2661.

$$k_{-1,x} = -k_{0,x} \cos[2(\theta_0 + \delta\theta)] - k_{0,y} \sin[2(\theta_0 + \delta\theta)]$$

$$k_{-1,y} = -k_{0,x} \sin[2(\theta_0 + \delta\theta)] + k_{0,y} \cos[2(\theta_0 + \delta\theta)]$$

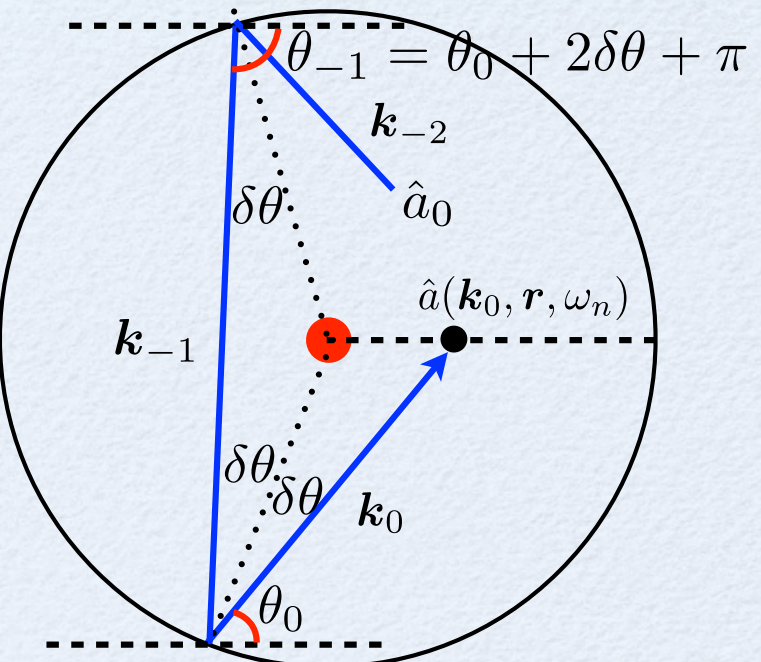
$$\hbar \mathbf{v}_F(\mathbf{k}_{-1}) \cdot \nabla \hat{a}(\mathbf{k}_0, \mathbf{r}, \omega_n) = \hat{\Delta}(\mathbf{k}_0, \mathbf{r}) - \hat{a}(\mathbf{k}_0, \mathbf{r}, \omega_n) \hat{\Delta}^\dagger(\mathbf{k}_0, \mathbf{r}) \hat{a}(\mathbf{k}_0, \mathbf{r}, \omega_n) - 2\omega_n \hat{a}(\mathbf{k}_0, \mathbf{r}, \omega_n)$$



$$\hbar \mathbf{v}_F(\mathbf{k}_0) \cdot \nabla \hat{a}(\mathbf{k}_{-1}, \mathbf{r}, \omega_n) = \hat{\Delta}(\mathbf{k}_{-1}, \mathbf{r}) - \hat{a}(\mathbf{k}_{-1}, \mathbf{r}, \omega_n) \hat{\Delta}^\dagger(\mathbf{k}_{-1}, \mathbf{r}) \hat{a}(\mathbf{k}_{-1}, \mathbf{r}, \omega_n) - 2\omega_n \hat{a}(\mathbf{k}_{-1}, \mathbf{r}, \omega_n)$$

$$\hat{\Delta}(\mathbf{k}, \mathbf{r}) = i C_{\mu i}(\mathbf{r}) \hat{\sigma}_\mu \hat{\sigma}_y k_i \quad C_{\mu x}(\mathbf{r}) \rightarrow -C_{\mu x}(\mathbf{r}) \cos[2(\theta_0 + \delta\theta)] - C_{\mu y}(\mathbf{r}) \sin[2(\theta_0 + \delta\theta)]$$

$$C_{\mu y}(\mathbf{r}) \rightarrow -C_{\mu x}(\mathbf{r}) \sin[2(\theta_0 + \delta\theta)] + C_{\mu y}(\mathbf{r}) \cos[2(\theta_0 + \delta\theta)]$$

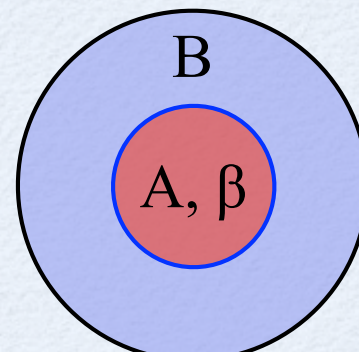
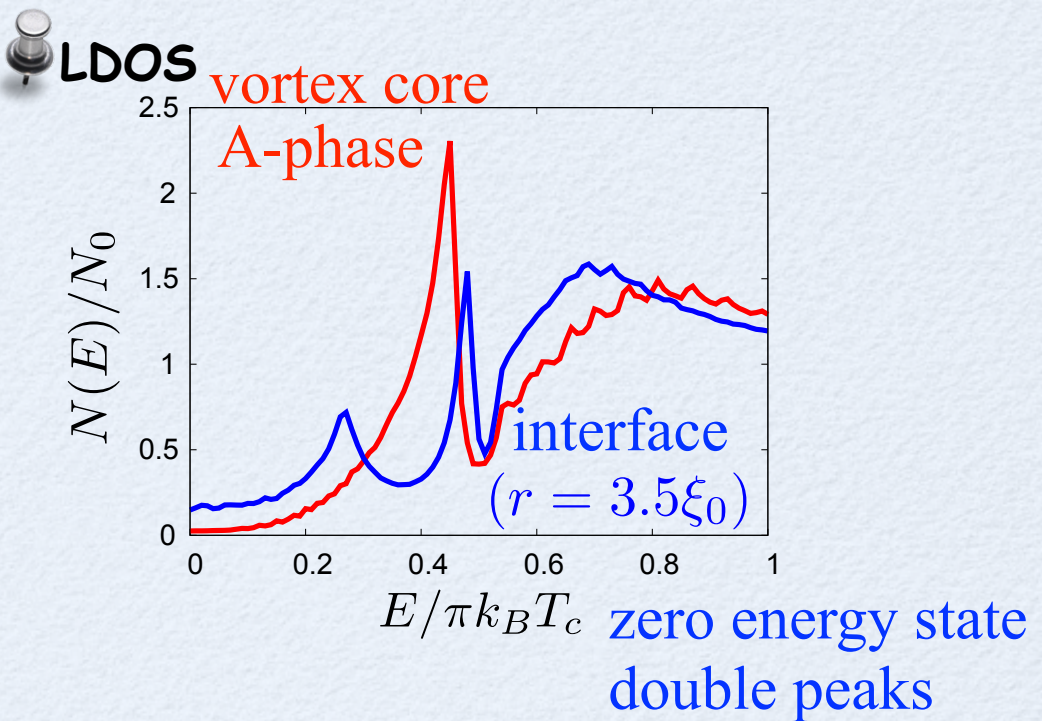
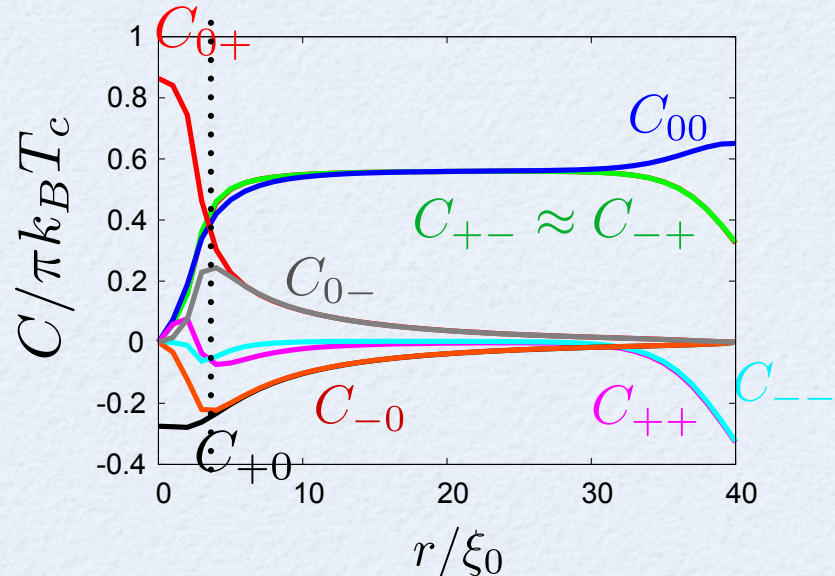
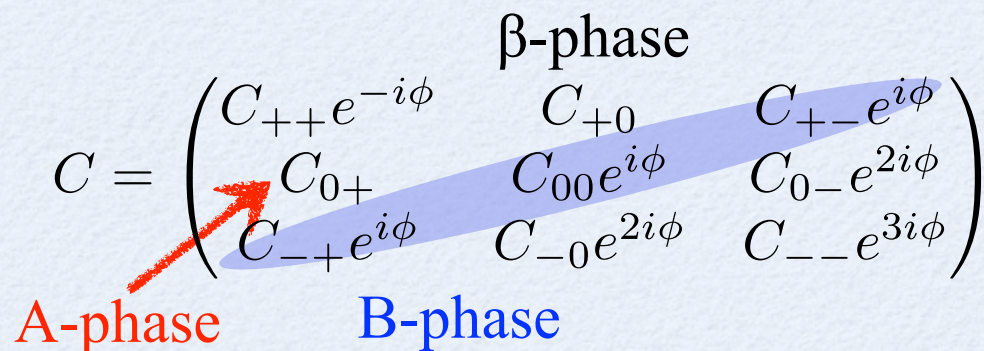


A-phase-core vortex

$$T = 0.2T_c, R = 40\xi_0$$

Order parameter

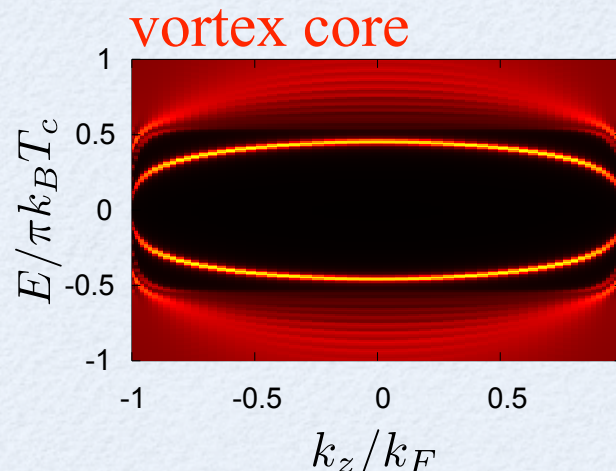
$$\hat{\Delta}(\mathbf{k}, \mathbf{r}) = iC_{\mu i}(\mathbf{r})\hat{\sigma}_\mu\hat{\sigma}_y k_i$$



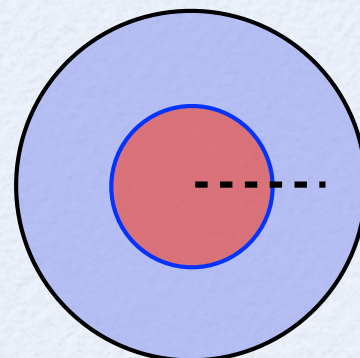
A-phase-core vortex



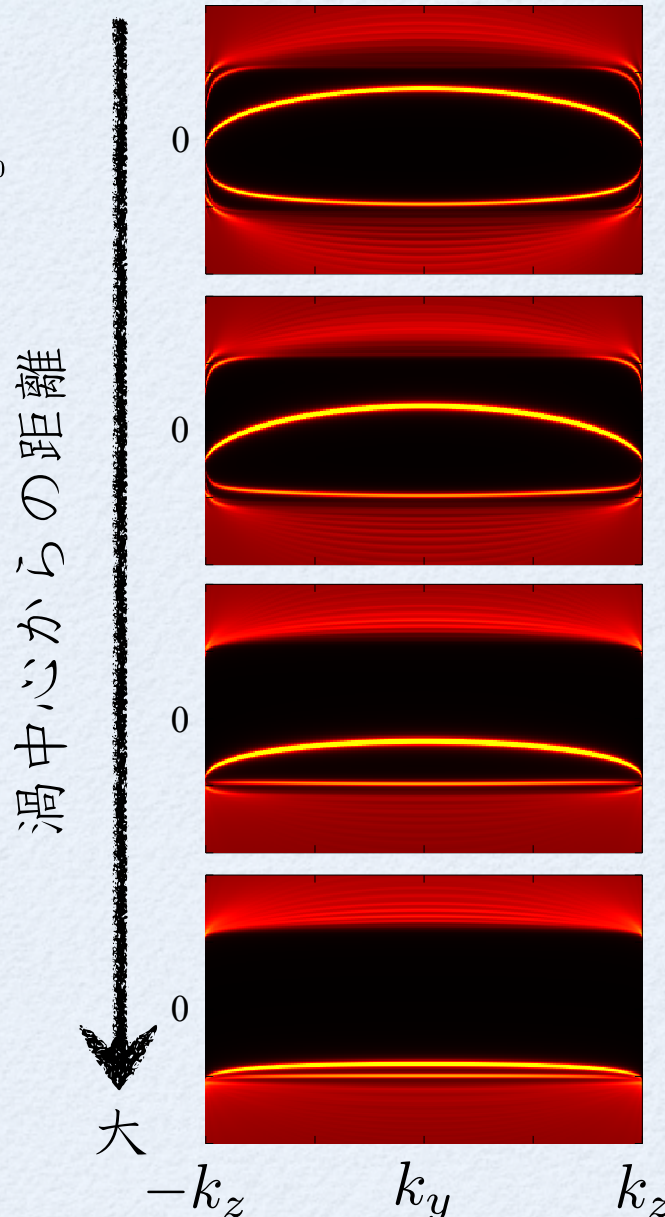
Dispersion



A相のギャップエッジ



トポロジカル超流動体間の
トポロジカル相転移



プランチが
zero energy を横切る

→ zero energy state

2つのプランチ
→ double peaks

Double-core vortex

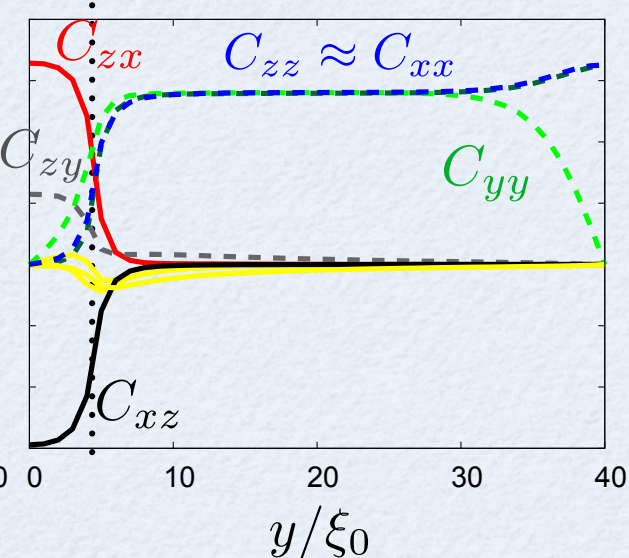
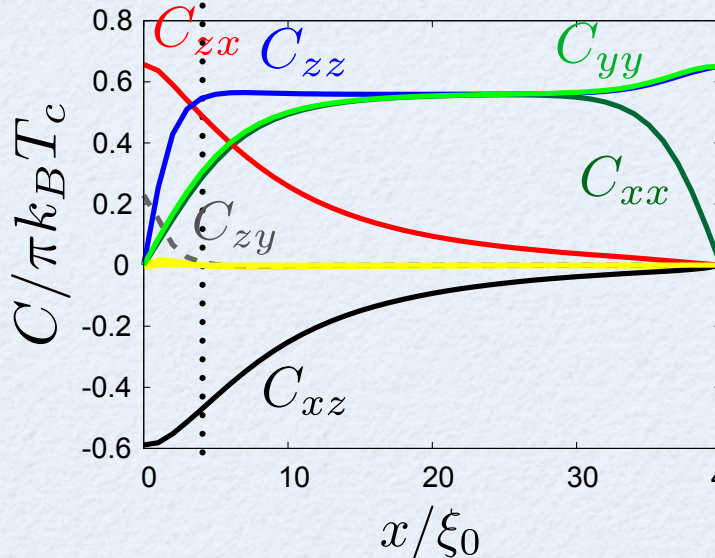


Order parameter

$$\hat{\Delta}(\mathbf{k}, \mathbf{r}) = iC_{\mu i}(\mathbf{r})\hat{\sigma}_\mu\hat{\sigma}_y k_i$$

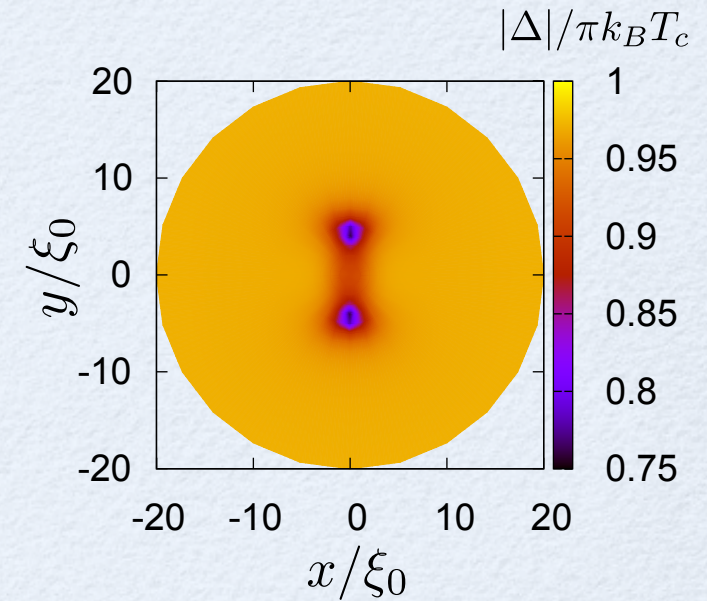
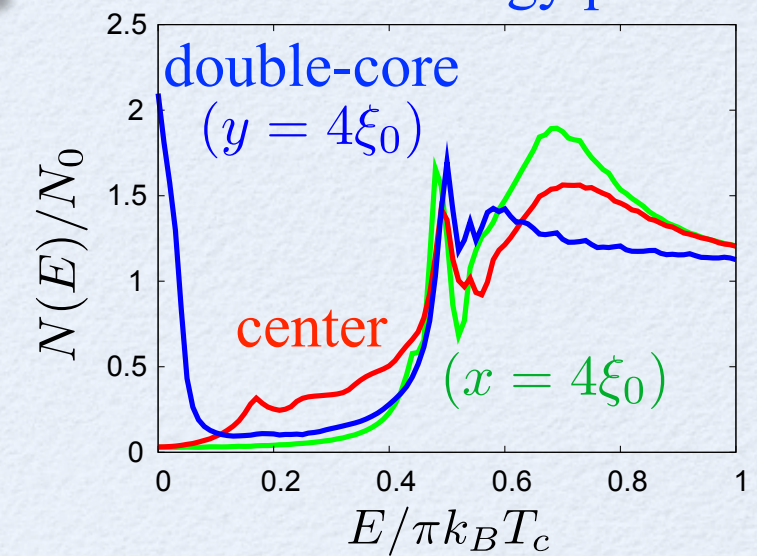
$$C(r=R) = \begin{pmatrix} C_{++}e^{-i\phi} & \underline{C_{+0}} \\ \underline{C_{0+}} & \begin{matrix} C_{+-}e^{i\phi} \\ C_{0-}e^{2i\phi} \\ \underline{C_{-0}e^{2i\phi}} \\ C_{--}e^{3i\phi} \end{matrix} \end{pmatrix}$$

center: planar-like



LDOS

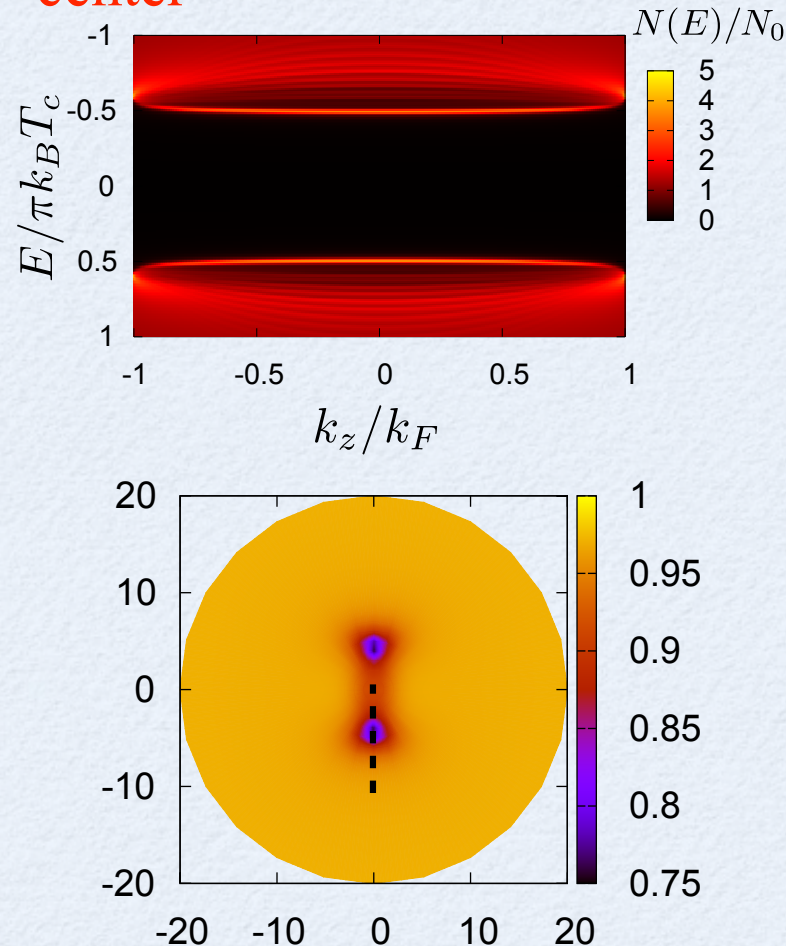
zero energy peak



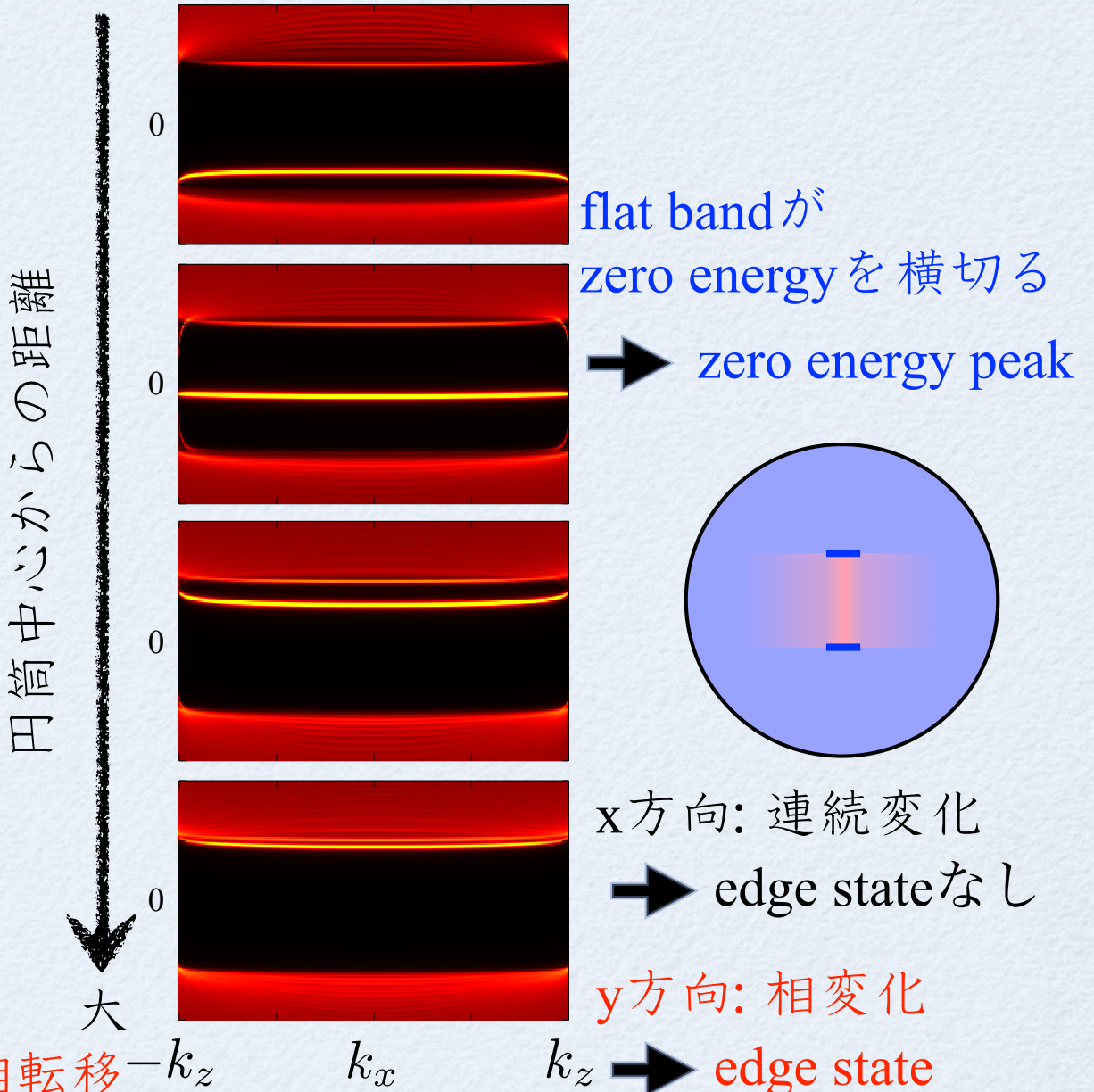
Double-core vortex

Dispersion

center



2D B-phase (planar-phase),
3D B-phase 間のトポロジカル相転移



Summary

B相の渦周りに異なるトポロジカル超流動体間の
トポロジカル相転移によるエッジ状態が存在



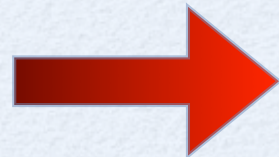
A-phase-core vortex

A相 \Leftrightarrow B相



Double-core vortex

2D B相 \Leftrightarrow 3D B相



ゼロエネルギー状態

Future prospects



- n-texture**
- Spin susceptibility**
- NMR spectrum**